

مدل‌سازی جذب روغن قطعات سیب‌زمینی پیش‌تیمارشده با اولتراسوند، مایکروویو و آبگیری اسمزی طی فرآیند سرخ کردن عمیق

مهدی برمو^۱ - جلال هفمان نیا^{۲*} - بابک قنبرزاده^۳

تاریخ دریافت: ۱۳۹۲/۴/۲۳

تاریخ پذیرش: ۱۳۹۳/۱/۲۷

چکیده

این تحقیق، با هدف بررسی اثر شرایط فرآیند و پیش‌تیمارهای اولتراسوند، مایکروویو و آبگیری اسمزی با محلول نمک بر انتقال جرم و جذب روغن قطعات سیب‌زمینی طی فرآیند سرخ کردن انجام گرفت. در این پژوهش، پیش‌تیمار اولتراسوند تحت فرکانس ۴۰ کیلوهرتز در دو زمان ۱۰ و ۳۰ دقیقه و پیش‌تیمار مایکروویو با توان ۵ وات بر گرم به مدت ۵ دقیقه و همچنین پیش‌تیمار آبگیری اسمزی با محلول نمک در دو غلظت ۱ و ۳ درصد، روی قطعات سیب‌زمینی اعمال شد و سپس این قطعات در دماهای ۱۵۰، ۱۷۰ و ۱۹۰ درجه سانتی‌گراد و زمان‌های ۹۰، ۱۸۰، ۲۷۰ و ۳۶۰ ثانیه سرخ شدند. نتایج نشان داد اعمال پیش‌تیمار اولتراسوند به مدت ۱۰ دقیقه، باعث افزایش جذب روغن نسبت به نمونه شاهد می‌شود ولی اعمال این پیش‌تیمار به مدت ۳۰ دقیقه میزان جذب روغن را نسبت به نمونه شاهد کاهش می‌دهد. همچنین، پیش‌تیمار مایکروویو نیز به شکل غیرمعنی دار جذب روغن قطعات سیب‌زمینی را کاهش داد. علاوه بر این، نمونه‌های پیش‌تیمار شده توسط آبگیری اسمزی با محلول نمک باعث کاهش جذب روغن شدند. همچنین، به منظور مدل‌سازی جذب روغن، داده‌های فوق دارای بیشترین مقدار R^2 و کمترین مقدار RMSE بودند.

واژه‌های کلیدی: اولتراسوند، مایکروویو، آبگیری اسمزی، سرخ کردن، جذب روغن، ضربی انتشار موثر رطوبت

مقدمه

انجام گرفته و هم‌زمان، رطوبت از داخل ماده غذایی به صورت انتشار به خارج آن منتقل می‌شود. با خروج رطوبت، روغن جایگزین آن شده و خصوصیات کیفی ماده غذایی تغییر می‌یابد (& Bouchon, 2001 Aguilera, 2001). در این فرآیند، واکنش‌های قهقهه‌ای شدن، ژلاتینه شدن نشاسته، تشکیل پوسته و دناتوراسیون پروتئین‌ها رخ داده شدن نشاسته، تشکیل پوسته و دناتوراسیون پروتئین‌ها رخ داده (Vitrac et al., 2002) و منجر به ایجاد عطر و طعم مناسب در محصول سرخ شده نهایی می‌گرددن (Freitas et al., 2009). هنگام سرخ شدن سیب‌زمینی در داخل روغن، رطوبت داخلی موجود در آن با افزایش دما تبدیل به بخار شده و باعث ایجاد فشار بخار در داخل سیب‌زمینی می‌شود. در نتیجه فشار بخار ایجاد شده، روغن نمی‌تواند به داخل سیب‌زمینی نفوذ کند (Moreira et al., 1997). بنابراین، در طول سرخ کردن، روغن عدتاً چسبیده به سطح سیب‌زمینی باقی مانده و بلافصله بعد از خارج کردن سیب‌زمینی از سرخ کن و در مرحله سرد کردن، بخار موجود در آن کندانس شده و یک حالت خلا ایجاد می‌شود (Gamble et al., 1987a); این مساله منجر به مکیده شدن روغن از سطح سیب‌زمینی به داخل آن شده و میزان روغن محصول را افزایش می‌دهد. با استفاده از روش‌هایی مثل پیش‌تیمار اولتراسوند،

سرخ کردن عمیق، به عنوان یک فرآیند جهت پخت محصولات مختلف غذایی مانند سیب‌زمینی در نظر گرفته می‌شود که در آن، ماده غذایی در داخل یک روغن مقاوم به حرارت و با نقطه جوش بالاتر از آب (حدود ۱۵۰-۲۰۰ درجه سانتی‌گراد) سرخ می‌گردد. مطالعات جدید روی فرآیند سرخ کردن مواد غذایی، با هدف پیدا کردن ارتباط بین شرایط فرآیند و تغییرات فیزیکی حاصله در حین آن از جمله کاهش Pedreschi & Aguilera (2002).

فاکتورهای زیادی مثل کیفیت روغن، ترکیب ماده غذایی، درجه حرارت، زمان سرخ کردن و محتوای رطوبت اولیه، می‌توانند روی میزان جذب روغن اثرگذار باشند (Pedreschi et al., 2008). در این فرآیند، انتقال حرارت به صورت کنوکسیونی از روغن به سیب‌زمینی

۱، ۲، ۳ - به ترتیب دانش آموخته کارشناسی ارشد، دانشیار و استاد گروه علوم و صنایع غذایی، دانشکده کشاورزی، دانشگاه تبریز
(*) - نویسنده مسئول: Email: J_dehghannya@tabrizu.ac.ir

که اگر قطعات سیب‌زمینی در دمای ۶۰–۲۰ درجه سانتی‌گراد، به مدت ۴ ساعت در داخل محلول ساکاراز ۶۰–۴۰ درصد و محلول نمک ۱۵ درصد آبگیری شوند، محتوای رطوبت آنها به میزان زیادی کاهش یافته و موقع سرخ کردن میزان جذب روغن کم می‌شود (Eren et al., 2007). پژوهش مشابه دیگری نشان داده است که اگر سیب‌زمینی‌ها در داخل محلول ۲۰ درصد مخلوطی از گلوجز و نمک (با نسبت یک به یک) قرار گرفته و حدود ۱ ساعت در دمای ۳۰ درجه سانتی‌گراد نگهداری شوند و بعد در داخل روغن کانولا در دمای ۱۷۰ درجه سانتی‌گراد به مدت ۱، ۲، ۵ و ۱۰ دقیقه سرخ گردند، جذب روغن کاهش می‌یابد (Ikoko & Kuri, 2007).

شناخت پدیده‌های پیچیده مثل انتقال جرم که حین فرآیند سرخ-کردن عمیق مواد غذایی اتفاق می‌افتد، به منظور طراحی و مدل‌سازی بهینه این فرآیند با هدف کاهش جذب روغن محصول سرخ شده ضروری می‌باشد. در حالت کلی، سرخ کردن عمیق شامل سه نوع انتقال جرم متفاوت شامل مهاجرت آب از بخش داخلی ماده غذایی به سطح آن، تراوش ترکیبات جامد به داخل روغن و جذب روغن به داخل ماده غذایی و جایگزینی آن با رطوبت می‌باشد (Blumenthal, 1991).

مدل‌سازی جذب روغن، روابط بین متغیرهای گوناگون، از جمله محتوای روغن و زمان را ارائه می‌دهد و می‌تواند اطلاعاتی در ارتباط با میزان جذب روغن در زمان‌های مختلف یا آهنگ جذب روغن توسط ماده غذایی طی این فرآیند را فراهم کند. بنابراین، می‌توان با کنترل دما و زمان فرآیند سرخ کردن و با استفاده از این مدل-ها، میزان جذب روغن را در محصول سرخ شده نهایی کاهش داد.

بر اساس اطلاعات موجود در منابع مختلف، تاکنون تأثیر تلفیقی پیش‌تیمارهای اولتراسوند، مایکروویو و آبگیری اسمزی به صورت همزمان در فرآیند سرخ کردن بررسی نشده است. بنابراین، این تحقیق، با هدف بررسی تأثیر تلفیقی پیش‌تیمارهای اولتراسوند، مایکروویو و آبگیری اسمزی بر جذب روغن و سایر ویژگیهای کمی و کیفی شامل چروکیدگی، ضریب انتشار موثر رطوبت، محتوای رطوبت و دانسیته ظاهری قطعات سیب‌زمینی طی فرآیند سرخ کردن و همچنین مدل‌سازی جذب روغن انجام شد.

مواد و روش‌ها

مواد

سیب‌زمینی‌های مورد استفاده از بازار محلی تهیه و قبل از سرخ-شدن در سردهخانه بالای صفر درجه سانتی‌گراد نگهداری شدند. روغن مایع مخصوص سرخ کردنی که مخلوطی از روغن‌های آفتابگردان، سویا و پنبه‌دانه بود، برای سرخ کردن قطعات سیب‌زمینی به کار برده شد.

مایکروویو، آبگیری اسمزی، آنزیم‌بری، پوشش‌های خوراکی و خشک-کردن با هوا، می‌توان میزان جذب روغن را در محصول کاهش داده و خصوصیات کمی و کیفی را در محصول سرخ شده نهایی بهبود بخشید (Krokida et al., 2000).

امواج اولتراسوند با ایجاد لرزش و انقباض و انساطهای پیاپی در داخل ماده ایجاد می‌کنند. تحقیقات نشان داده‌اند که امواج اولتراسوند، باعث افزایش ضریب انتشار موثر رطوبت می‌شود (Ortuno et al., 2010). در پژوهشی، اثر اولتراسوند به عنوان پیش‌تیمار در خشک‌کردن قطعات موز مورد بررسی قرار گرفته است (Fernandes & Rodrigues, 2007). نتایج این تحقیق نشان داد که اگر قطعات موز در داخل یک محلول آبی در دمای ۳۰ درجه سانتی‌گراد، در برابر امواج اولتراسوند با فرکанс ۲۵ کیلوهرتز به مدت ۱۰، ۲۰ و ۳۰ دقیقه قرار داده شوند، میزان ضریب انتشار موثر رطوبت با گذشت زمان از $4/61 \times 10^{-6}$ به $4/08 \times 10^{-6}$ متر مربع بر ساعت افزایش یافته و باعث خروج سریع رطوبت از ماده غذایی می‌گردد.

تاکنون بر اساس منابع در دسترس، اثر پیش‌تیمار اولتراسوند بر میزان جذب روغن در فرآیند سرخ کردن بررسی نشده است؛ اما انتظار بر این است که افزایش ضریب انتشار موثر رطوبت، می‌تواند خروج رطوبت را تسهیل نموده و با کاهش مدت زمان لازم برای سرخ کردن، جذب روغن را کاهش دهد. یکی دیگر از پیش‌تیمارهای مورد استفاده قبل از فرآیند سرخ کردن، مایکروویو می‌باشد. هنگام استفاده از مایکروویو به عنوان پیش‌تیمار، محتوای رطوبت اولیه ماده غذایی در کاهش می‌یابد؛ بنابراین، میزان رطوبت خارج شده از ماده غذایی در طول سرخ کردن، کاهش یافته و در نهایت روغن کمتری وارد محصول می‌شود. از دیگر روش‌های مورد استفاده جهت کاهش جذب روغن، استفاده از پیش‌تیمار آبگیری اسمزی می‌باشد. طی آبگیری اسمزی با محلول نمک، محتوای رطوبت اولیه ماده غذایی کاهش داده شده و در نهایت میزان جذب روغن محصول کمتر می‌شود (Moyano et al., 2002).

در تحقیقی، اثر آبگیری اسمزی به عنوان پیش‌تیمار روی سرخ-کردن سیب‌زمینی مورد بررسی قرار گرفته است (Krokida et al., 2001). در این تحقیق، ابتدا آبگیری سیب‌زمینی با استفاده از چهار محلول شامل ساکاراز ۴۰ درصد (وزنی - وزنی)، نمک ۲۰ درصد (وزنی - وزنی)، مالتودکسترین (۱۲) ۲۰ درصد (وزنی - وزنی) و مالتودکسترین (۲۱) ۲۰ درصد (وزنی - وزنی) در دمای ۴۰ درجه سانتی‌گراد، به مدت ۳ ساعت صورت گرفته و سپس، سرخ کردن در دمای ۱۷۰ درجه سانتی‌گراد انجام شد. نتایج حاصل نشان داد که آبگیری اسمزی باعث کاهش محتوای رطوبت، جذب روغن و دانسیته ظاهری می‌گردد. نتایج حاصل از یک تحقیق دیگر نشان داده است

گزارش گردید (AOAC, 1990).

محتوای روغن

میزان روغن نمونه‌های سرخ شده با استفاده از دستگاه سوکسله و از طریق استخراج به وسیله حلال پترولیوم اثر اندازه‌گیری شد و بر حسب گرم روغن بر گرم ماده خشک بدون روغن گزارش شد (AOAC, 1995).

میزان چروکیدگی

برای به دست آوردن میزان چروکیدگی، ابتدا حجم ظاهری اولیه نمونه‌ها قبل از سرخ کردن (V_0) و بعد از سرخ کردن (V_t)، با استفاده از رابطه ۱ تعیین شد:

$$V = (M + M_1 - M_2) / \rho \quad (1)$$

در رابطه فوق، V حجم ظاهری (cm³), M وزن نمونه (gr)، M_1 وزن پیکنومتر خالی و حلال (gr)، M_2 وزن پیکنومتر حاوی نمونه و حلال (gr) و ρ دانسیته تولوئن (gr/cm³) می‌باشد. در مرحله بعد با استفاده از رابطه ۲، میزان چروکیدگی در هر لحظه از زمان سرخ کردن تعیین شد (Ziaifar et al., 2010).

$$S_{(t)} = \frac{V_0 - V_t}{V_0} \quad (2)$$

در این رابطه، $S_{(t)}$ درصد چروکیدگی، V_0 حجم ظاهری نمونه خام (cm³) و V_t حجم ظاهری نمونه پس از سرخ شدن (cm³) می‌باشد.

دانسیته ظاهری

دانسیته ظاهری از تقسیم وزن محصول بر حجم ظاهری آن در هر لحظه از سرخ کردن بدست می‌آید (Ziaifar et al., 2010):

$$\rho = \frac{M}{V} \quad (3)$$

در این رابطه ρ دانسیته ظاهری محصول (gr/cm³), M جرم محصول (gr) و V حجم ظاهری محصول (cm³) می‌باشد.

مدل‌سازی ریاضی جذب روغن

در این مطالعه، از شش مدل تجربی (جدول ۲) برای مدل‌سازی جذب روغن به صورت تابعی از زمان استفاده شد. همچنین، سه مدل دیگر نیز به صورت تابعی از چروکیدگی، دانسیته ظاهری و محتوای رطوبت محصول پیشنهاد شد. برای تعیین بهترین مدل از دو معیار ضریب همبستگی (R^2) و ریشه میانگین مربعات خطای (RMSE) استفاده شد. از این رو، مدل‌هایی که دارای بیشترین مقدار R^2 و کمترین میزان RMSE بودند، به عنوان بهترین مدل انتخاب شدند.

روش‌ها تجهیزات

در این تحقیق، از یک سرخ‌کن Moulinex (مدل F430R) با ظرفیت ۲/۲ لیتر روغن، ساخت فرانسه، مجهز به سیستم تنظیم دما در محدوده ۱۵۰ تا ۱۹۰°C و دارای سنسور دمایی (ترموستات) توکار^۱ برای کنترل ترمواستاتیکی دما با دقت ±۳°C، دستگاه اولتراسوند (مدل 4R – USD، ساخت ژاپن، مجهز به سیستم تنظیم فرکانس و همچنین زمان اولتراسونیک‌کاسیون)، دستگاه مایکروویو (سامسونگ مدل CS4550، ساخت کره) و هیتر (مدل Tap-210-HS، ساخت ایران، مجهز به سیستم تنظیم دما) استفاده شد.

آماده‌سازی نمونه‌ها

در این مطالعه، سیب‌زمینی‌ها ۲۴ ساعت قبل از آزمایش، در دمای اتاق نگهداری شدند. موقع آزمایش، نمونه‌ها بعد از شستشو، پوست-گیری شده و با استفاده از یک کاتر دستی به قطعاتی با ابعاد ۱/۲ × ۱/۲ × ۱/۴ (ارتفاع، عرض و طول) سانتی‌متر، برش داده شدند. سپس با استفاده از آب مقطار، نشاسته سطحی آن‌ها گرفته شده و بعد از آن، آب اضافی سیب‌زمینی‌ها با استفاده از کاغذ رطوبت‌گیر گرفته شد. در نهایت، نمونه‌ها بر حسب نوع پیش‌تیمار، به چند دسته تقسیم شدند (جدول ۱).

شرایط سرخ‌کردن

در هر آزمایش پس از آماده‌سازی نمونه‌ها بر اساس جدول ۱، ابتدا سرخ کن با ۱/۵ لیتر روغن پر شد و بعد از تنظیم دما و زمان، بر روی حالت اتوماتیک قرار داده شد. پس از رسیدن دمای سرخ‌کن به دمای مورد نظر، نمونه‌های سیب‌زمینی به میزان ۱۰۰ – ۱۲۰ گرم در داخل سبد مشبك سرخ کن قرار داده شدند و سپس سبد حاوی نمونه‌ها، به طور اتوماتیک در داخل روغن غوطه‌ور شد. پس از سرخ شدن نمونه‌ها به مدت زمان مورد نظر، سیب‌زمینی‌ها از سرخ‌کن بیرون آورده شده و روغن اضافی آنها توسط یک کاغذ جاذب گرفته شد و بالافاصله آنالیزهای مربوطه روی آنها انجام گرفت. تمامی آزمایش‌ها با ۲ تکرار انجام شد و داده‌های گزارش شده، میانگین داده‌های آزمایشی هستند.

محتوای رطوبت

محتوای رطوبت نمونه‌ها، از طریق خشک کردن آنها در آون کوکسیونی در دمای ۱۰۵±۱°C، تا رسیدن به وزن ثابت انجام شد و در نهایت بر حسب گرم رطوبت بر گرم ماده خشک بدون روغن

1- Built-in temperature sensor

ضرایب به صورت تابعی از شرایط فرآیند (متغیرهای مرتبط با پیش-تیمارهای اولتراسوند، مایکروویو، آبگیری اسمزی، دما و زمان فرآیند) در نظر گرفته شدند. مبنای انتخاب این مدل‌ها نیز بر اساس ضریب همبستگی بالای آن‌ها بود.

پارامترهای مربوط به این مدل‌ها، از طریق برآش کردن داده‌های حاصل از آزمایش با استفاده از نرم‌افزار MATLAB (Version 7.12.06.635, R2012a) به دست آمدند. به منظور به دست آوردن ضرایب ثابت مدل‌ها نیز، تجزیه و تحلیل رگرسیون چندمتغیره با استفاده از نرم‌افزار EXCEL 2007 انجام شد. این

جدول ۱- علامت اختصاری مورد استفاده برای تیمارهای مختلف

رده‌یار	تیمار	علامت اختصاری
۱	شاهد	Control
۲	اولتراسوند با زمان ۱۰ دقیقه	U10
۳	اولتراسوند با زمان ۳۰ دقیقه	U30
۴	آبگیری اسمزی با محلول نمک ۱ درصد	O1
۵	آبگیری اسمزی با محلول نمک ۳ درصد	O3
۶	مایکروویو	M
۷	آبگیری اسمزی با محلول نمک ۱ درصد - اولتراسوند با زمان ۱۰ دقیقه - مایکروویو	O1U10M
۸	آبگیری اسمزی با محلول نمک ۱ درصد - اولتراسوند با زمان ۳۰ دقیقه - مایکروویو	O1U30M
۹	آبگیری اسمزی با محلول نمک ۳ درصد - اولتراسوند با زمان ۱۰ دقیقه - مایکروویو	O3U10M
۱۰	آبگیری اسمزی با محلول نمک ۳ درصد - اولتراسوند با زمان ۳۰ دقیقه - مایکروویو	O3U30M

۱: نمونه‌های شاهد که بلافضله در دما و زمان مورد نظر سرخ شدند.

۲ و ۳: نمونه‌هایی که جهت انجام اولتراسونیکاسیون، در حمام اولتراسوند در معرض فرکانس ۴۰ کیلوهرتز به مدت ۱۰ و ۳۰ دقیقه به طور مجزا قرار گرفتند.

۴ و ۵: نمونه‌هایی که جهت انجام پیش‌تیمار آبگیری اسمزی با محلول نمک در غلظت ۱ و ۳ درصد سدیم کلرید و دمای ۴۰ درجه سانتی‌گراد به مدت ۳ ساعت، به طور مجزا قرار داده شدند.

۶: نمونه‌هایی که جهت انجام پیش‌تیمار مایکروویو، در توان ۵ وات بر گرم به مدت ۵ دقیقه به طور مجزا قرار گرفتند.
۷، ۸، ۹ و ۱۰: نمونه‌هایی که جهت انجام تلفیقی از پیش‌تیمارهای اولتراسوند، مایکروویو و آبگیری اسمزی با محلول نمک، ابتدا در حمام اولتراسوند در معرض فرکانس ۴۰ کیلوهرتز و مدت زمان‌های ۱۰ و ۳۰ دقیقه به طور مجزا قرار داده شدند و سپس در داخل محلول اسمزی ۱ و ۳ درصد و دمای ۴۰ درجه سانتی‌گراد، به مدت ۳ ساعت آبگیری شده و در نهایت در داخل دستگاه مایکروویو در توان ۵ وات بر گرم به مدت ۵ دقیقه خشک شدند.

جدول ۲- مدل‌های ریاضی مورد استفاده برای بررسی تغییرات محتواهی روغن قطعات سیب‌زمینی با گذشت زمان

شماره	مدل ریاضی	مرجع	پیشنهادی
۱	$O = \frac{at^b}{1+t}$		
۲	$O = at^b$		پیشنهادی
۳	$O = \frac{1+t}{at+b}$		پیشنهادی
۴	$O = \exp(-at^b)$		پیشنهادی
۵	$O = \frac{abt}{1+bt}$	(مویانو و پدرسچی (۲۰۰۶))	
۶	$O = a.(1 - \exp(-bt))$	کروکیدا و همکاران (۲۰۰۶)	

و ۳۶۰ ثانیه در دو تکرار ($10 \times 3 \times 4 \times 2 = 240$) سرخ شدند. تجزیه و تحلیل داده‌ها بر اساس آزمایش فاکتوریل در قالب طرح بلوک‌های کامل تصادفی، با استفاده از نرم‌افزار SAS 9.1 انجام شد. برای انجام

تجزیه و تحلیل داده‌ها

در این مطالعه، ۱۰ تیمار نشان داده شده در جدول ۱، در سه دمای ۱۵۰، ۱۷۰ و ۱۹۰ درجه سانتی‌گراد و چهار زمان ۹۰، ۱۸۰، ۲۷۰ و

بنابراین، آهنگ افزایش محتوای روغن کاهاش یافته و به یک حالت تعادلی می‌رسد. مشابه چنین نتایجی در تحقیقات دیگری مشاهده گردیده است (Ngadi *et al.*, 2009 & Sukumar *et al.*, 2009) در مورد تأثیر دما بر میزان جذب روغن، گزارشات متعددی ارائه شده است. برخی از محققین، بر این باورند که افزایش دما منجر به کاهاش جذب روغن می‌شود و دلیل آن را به این صورت بیان کرده‌اند که افزایش دما باعث خروج سریع رطوبت از ماده غذایی شده و مدت زمان لازم برای سرخ کردن را کم می‌کند (Marisol *et al.*, 2007). همچنین، با تشکیل سریع پوسته سخت در ماده غذایی، یک مانع در برابر ورود روغن به ماده غذایی ایجاد شده و میزان جذب روغن را کاهاش می‌دهد. اما برخی دیگر از محققین، عقیده دارند که افزایش دما میزان جذب روغن را افزایش می‌دهد (Franco *et al.*, 2007). در این مطالعه نیز افزایش دما باعث افزایش جذب روغن در محصول گردید؛ اما این افزایش از لحاظ آماری معنی‌دار نبود. در واقع، افزایش دما باعث خروج مقدار زیاد رطوبت از ماده غذایی در مدت زمان کوتاه شده بنابراین، روغن زیادی جایگزین رطوبت می‌شود و در نتیجه جذب روغن افزایش می‌یابد. Bouchon و همکاران. (۲۰۰۳) و Franco و همکاران. (۲۰۰۷)، در مطالعات تحقیقاتی خود به نتایج مشابهی دست یافته‌اند.

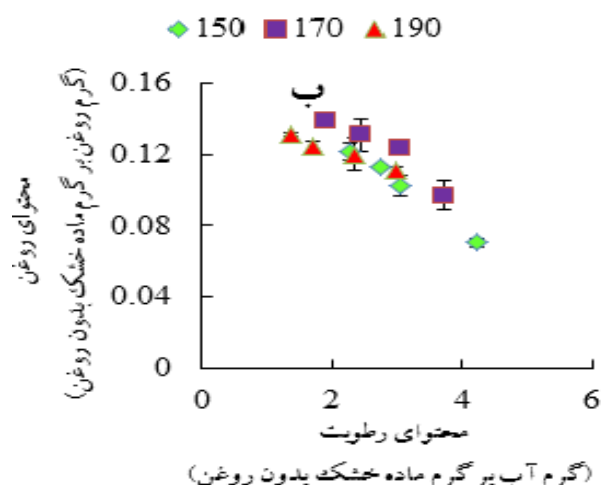
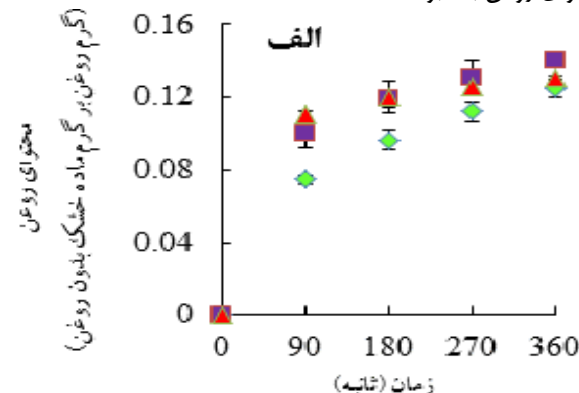
از طرف دیگر، کاهاش محتوای رطوبت با گذشت زمان، منجر به افزایش میزان جذب روغن در نمونه‌های شاهد شد (شکل ۱- ب). افزایش دما در محتوای رطوبت بالا و در زمان‌های اولیه سرخ کردن، باعث افزایش میزان جذب روغن در نمونه‌ها گردید؛ ولی در محتوای رطوبت کمتر از ۳ گرم آب بر گرم ماده خشک بدون روغن و در لحظات آخر سرخ کردن با افزایش دما از ۱۹۰ به ۲۷۰ درجه سانتی‌گراد میزان جذب روغن کاهاش یافت. چنین نتایجی در مطالعات دیگری نیز مشاهده گردیده است (Moyano & Pedreschi, 2006 & Ziaifar *et al.*, 2010). در دماهای بالاتر از ۱۷۰ درجه سانتی‌گراد و در زمان‌های آخر سرخ کردن، به دلیل بیشتر بودن دما، پوسته سخت در سیب‌زمینی تشکیل می‌گردد که مانع از ورود بیشتر روغن به ماده غذایی می‌گردد.

شکل ۱- الف، منحنی تغییرات محتوای روغن را در زمان‌های ۹۰، ۱۸۰، ۲۷۰ و ۳۶۰ ثانیه و دمای ۱۵۰، ۱۷۰ و ۱۹۰ درجه سانتی‌گراد برای پیش‌تیمارهای آبگیری اسمزی با محلول‌های نمک ۱ و ۳ درصد، اولتراسوند با فرکانس ۴۰ کیلوهرتز (زمان‌های ۱۰ و ۳۰ دقیقه) و مایکروویو با توان ۵ وات بر گرم به صورت مجزا نشان می‌دهد. بر اساس نتایج به دست آمده، محتوای روغن نمونه‌ها با گذشت زمان در تمامی پیش‌تیمارها افزایش پیدا کرد. همچنین، میزان جذب روغن در نمونه‌های شاهد در مقایسه با تیمارهای دیگر (به جز پیش‌تیمار اولتراسوند با زمان ۱۰ دقیقه) در تمام زمان‌های سرخ کردن بیشتر بود. علاوه بر این، مقایسه بین پیش‌تیمارها نشان داد که پیش‌تیمار

مقایسه میانگین از آزمون بونفرونی^۱ در سطح احتمال ۰.۰۵ (P<۰.۰۵) در تمامی داده‌های آزمایشی استفاده شد (Steel *et al.*, 1997).

نتایج و بحث جذب روغن

محتوای روغن نمونه‌های سرخ شده با گذشت زمان سرخ کردن افزایش یافت (شکل ۱- الف). افزایش روغن در لحظات اولیه سرخ کردن به صورت نمایی بوده و به دلیل بالا بودن میزان رطوبت محصول و عدم تشکیل پوسته سخت در لحظات اولیه، آهنگ افزایش محتوای روغن بالا بود.



شکل ۱- محتوای روغن قطعات سیب‌زمینی سرخ شده (نمونه شاهد) به عنوان تابعی از زمان (الف) و محتوای رطوبت (ب) طی سرخ کردن عمیق در دماهای ۱۵۰، ۱۷۰ و ۱۹۰ درجه سانتی‌گراد با گذشت زمان سرخ کردن و رسیدن به محتوای رطوبت تعادلی و همچنین تشکیل پوسته سخت، خروج رطوبت از محصول کمتر شده،

1- Bonferroni

جذب روغن می‌گردد؛ به این صورت که موقع سرخ کردن و هنگام تشکیل پوسته، منافذ موجود در سطح پوسته توسط مواد جامد محلول پر شده و یک مانع در برابر ورود روغن به داخل ماده غذایی ایجاد می‌کند و در نتیجه میزان جذب روغن محصول را کمتر می‌کند.

شكل ۲- ب، تغییرات محتوای روغن را در نمونه‌های پیش‌تیمار شده به صورت تلفیقی و سپس سرخ شده در دمای ۱۵۰ درجه سانتی-گراد نشان می‌دهد. بر اساس این شکل، تاثیر پیش‌تیمارهای آبگیری اسمزی و مایکروویو در کاهش جذب روغن بیشتر از پیش‌تیمار اولتراسوند می‌باشد. قابل ذکر است که کاهش جذب روغن در پیش-تیمار O1U10M و O1U30M (جدول ۱) در لحظات ۰ تا ۹۰ ثانیه از لحظه آماری معنی‌دار نبود اما در لحظات ۹۰ تا ۳۶۰ ثانیه تفاوت معنی‌داری در کاهش جذب روغن محصول ملاحظه شد؛ ولی در دو پیش‌تیمار O3U10M و O3U30M در تمامی لحظات سرخ کردن کاهش در جذب روغن نسبت به نمونه شاهد از لحظه آماری معنی‌دار بود. شکل ۲-(ج، د) و (ه، و)، محتوای تغییرات روغن را در نمونه‌های پیش‌تیمار شده به صورت مجزا و تلفیقی و سپس سرخ شده به ترتیب در دمای ۱۷۰ و ۱۹۰ درجه سانتی‌گراد نشان می‌دهد. روند کاهش محتوای روغن در این نمونه‌ها نیز مشابه نتایج به دست آمده در دمای ۱۵۰ درجه سانتی‌گراد بود؛ با این تفاوت که کمترین میزان جذب روغن در نمونه‌های ساختاری نمودهای سرخ شده در دمای ۱۷۰ و ۱۹۰ درجه سانتی‌گراد، برای نمونه‌های پیش‌تیمار شده توسط مایکروویو به دست آمد؛ در حالی که کمترین میزان جذب روغن در دمای ۱۵۰ درجه سانتی‌گراد مربوط به نمونه‌های پیش‌تیمار شده با محلول نمک ۳ درصد بود. قابل ذکر است که این میزان کاهش در جذب روغن نیز از لحظه آماری معنی‌دار نبود. همچنین، میزان جذب روغن در دو دمای ۱۷۰ و ۱۹۰ درجه سانتی‌گراد بیشتر از دمای ۱۵۰ درجه سانتی‌گراد بود. کاهش جذب روغن در پیش‌تیمارهای O1U10M، O1U30M و O3U30M (جدول ۱) در دمای ۱۷۰ و ۱۹۰ درجه سانتی‌گراد نسبت به نمونه شاهد از لحظه آماری معنی‌دار بود. در نمونه‌های پیش‌تیمار شده به صورت مجزا نیز کاهش در جذب روغن نسبت به نمونه شاهد در هر دو دمای ۱۷۰ و ۱۹۰ درجه سانتی‌گراد معنی‌دار نبود.

مدل‌سازی جذب روغن

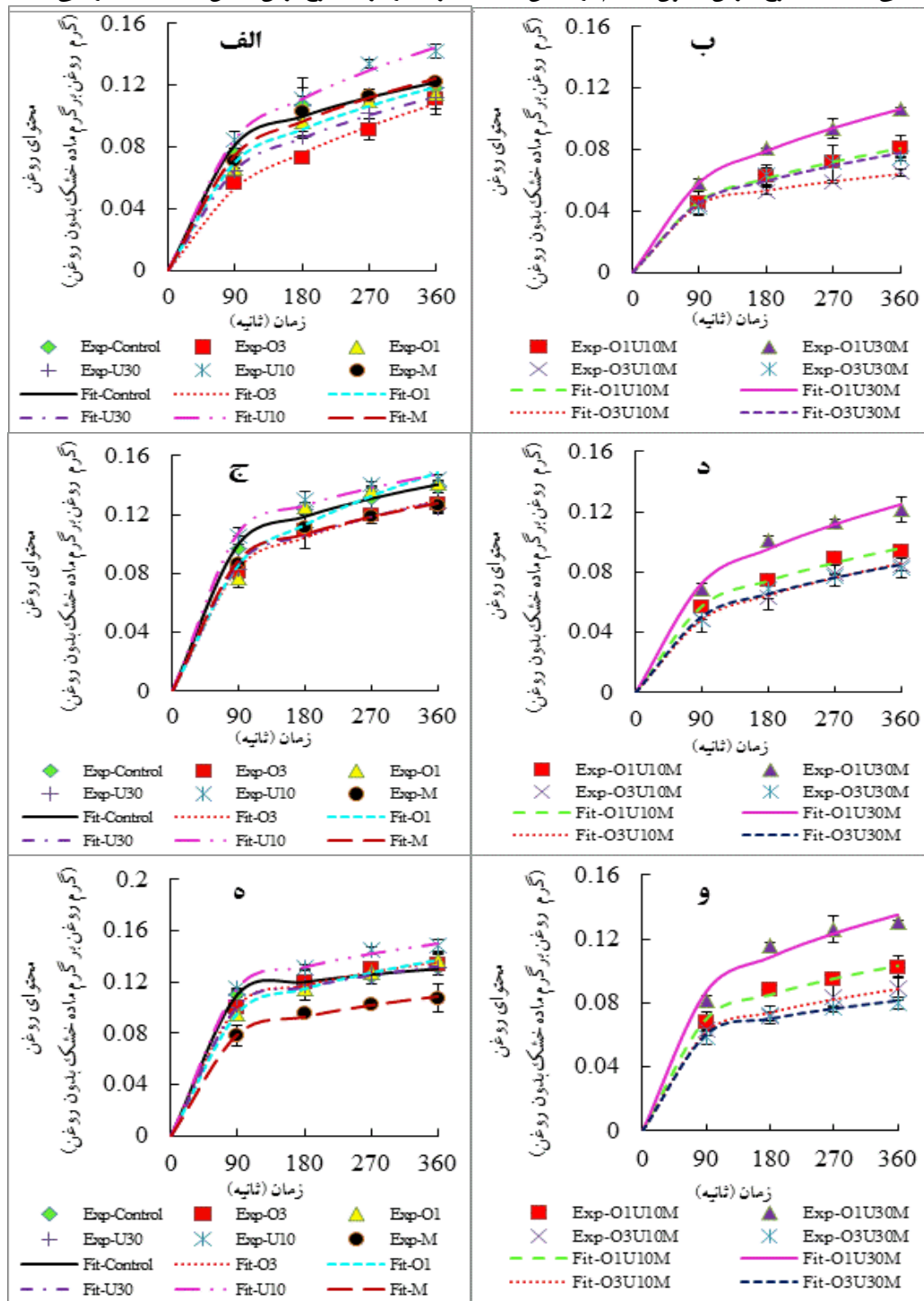
شكل ۲، منحنی‌های برازش داده‌های آزمایشی محتوای روغن نمونه‌های مختلف (جدول ۱) را با مدل شماره ۶ جدول ۲ در ۳ دمای ۱۵۰، ۱۷۰ و ۱۹۰ درجه سانتی‌گراد در زمان‌های مختلف نشان می-دهد. این مدل، داده‌های آزمایشی را با میزان R^2 بالا و RMSE پایین برازش نمود (جدول ۳، مدل ۶). همچنین، ۵ مدل دیگر نیز با توجه به جدول ۳، مدل‌های مناسبی برای برازش داده‌های آزمایشی انتخاب شدند. این مدل‌ها به منظور دستیابی به میزان جذب روغن در زمان-

آبگیری اسمزی با محلول نمک ۳ درصد نسبت به پیش‌تیمارهای دیگر کمترین میزان جذب روغن را دارا می‌باشد و بعد از آن سه پیش‌تیمار دیگر در تمامی لحظات سرخ کردن تقریباً به یک میزان محتوای روغن را نسبت به نمونه شاهد کاهش دادند. قابل ذکر است که کاهش محتوای روغن در نمونه‌های پیش‌تیمار شده با مایکروویو به صورت مجزا در مقایسه با نمونه‌های شاهد از لحظه آماری معنی‌دار نبود. همچنین هیچگونه اختلاف معنی‌داری بین نمونه‌های پیش‌تیمار شده با اولتراسوند با زمان‌های ۱۰ و ۳۰ دقیقه، به ترتیب در افزایش و کاهش جذب روغن و نمونه‌های آبگیری شده با محلول‌های نمک ۱ و ۳ درصد در کاهش جذب روغن ملاحظه نشد.

مطابق شکل ۲-الف، کاهش محتوای روغن در نمونه‌های پیش‌تیمار شده با اولتراسوند با فرکانس ۴۰ کیلوهرتز و زمان ۳۰ دقیقه را می‌توان به تاثیر انقباض و انبساط‌های متواالی و ایجاد پدیده کاویتاسیون و تشکیل حفره در داخل سیبازمینی نسبت داد که منجر به تشکیل کانال‌های ریز میکروسکوپی در داخل محصول شده و Fernandes & Rodrigues, 2007 خروج رطوبت را تسريع می‌کند (Ortuno *et al.*, 2010). بنابراین، موقع سرخ کردن به دلیل خروج پیش‌رطوبت، فشار بخار در داخل سیبازمینی زیاد شده و این پدیده مانع در برابر ورود روغن ایجاد کرده و منجر به کاهش میزان روغن ساختاری نمونه‌ها می‌گردد. در نتیجه بعد از سرخ کردن، روغن زمینی مربوط به روغن سطحی نفوذ کرده موقع سرد کردن می‌باشد. بر این اساس، کل محتوای روغن نمونه‌ها نسبت به نمونه شاهد کاهش می‌باشد. در مورد افزایش میزان جذب روغن در نمونه‌های پیش‌تیمار شده با اولتراسوند با زمان ۱۰ دقیقه مطابق شکل ۲-الف، می‌توان بیان کرد که احتمالاً در مورد این پیش‌تیمار، مدت زمان لازم برای ایجاد پدیده کاویتاسیون و متعاقب آن، تشکیل کانال‌های ریز میکروسکوپی کم بوده و کانال‌ها به طور کامل تشکیل نمی‌گردد. در رابطه با کاهش جذب روغن در نمونه‌های پیش‌تیمار شده با مایکروویو نسبت به نمونه شاهد مطابق شکل ۲-الف، می‌توان بیان کرد که این پیش‌تیمار قبل از سرخ کردن باعث خروج رطوبت از ماده غذایی شده و رطوبت اولیه ماده غذایی را کاهش می‌دهد. در نتیجه، میزان رطوبت در دسترس برای خروج از ماده غذایی موقع سرخ کردن، کم شده، بنابراین در اثر خروج کمتر رطوبت از محصول، روغن کمتری هم جایگزین آن می‌گردد. این نتیجه متنطبق با نتایج Barutcu *et al.*, 2009 & Ngadi *et al.*, 2009 & Oztop *et al.*, 2007 & Tuta *et al.*, 2010 مثبت‌به نیز در مورد کاهش جذب روغن در نمونه‌های پیش‌تیمار شده با فرآیند اسمز نسبت به نمونه شاهد می‌توان ذکر کرد (Moyano *et al.*, 2002). همچنین، هنگام آبگیری اسمزی مقداری مواد جامد محلول وارد ماده غذایی می‌گردد که احتمالاً این مواد موجب کاهش

میزان جذب روغن محصول را تعیین کرده و بر اساس آن مناسب‌ترین فرآیند را برای سرخ کردن عمیق قطعات سیب‌زمینی انتخاب کرد

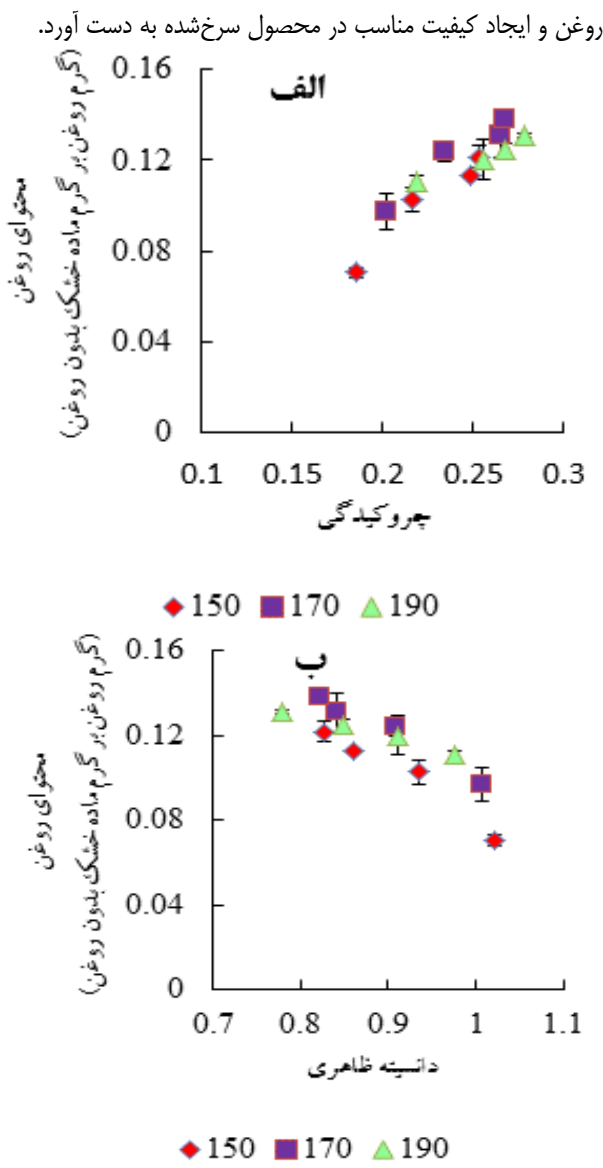
های غیر از زمان‌های به کار برد شده در این مطالعه قابلیت کاربرد داشته تا بتوان در تمامی لحظات سرخ کردن بدون انجام آزمایش،



شکل ۲- تغییرات محتوای روغن حاصل از آزمایش (Exp) و برآذش شده (Fit) با مدل ۲ (جدول ۲) (جدول ۲)، طی فرآیند سرخ کردن عمیق قطعات سیب‌زمینی با گذشت زمان در دماهای 150°C ، 170°C ، 190°C در پیش‌تیمارهای مختلف بر اساس جدول ۱

مساله به این دلیل است که با گذشت زمان سرخ کردن به دلیل خروج رطوبت و کاهش خاصیت محصول و در نتیجه ایجاد چروکیدگی،

همچنین، نتایج نشان داد که با افزایش میزان چروکیدگی، میزان جذب روغن قطعات سیب‌زمینی افزایش می‌یابد (شکل ۳-الف). این



شکل ۳- تغییرات محتوای روغن نمونه‌های شاهد به صورت تابعی از چروکیدگی (الف) و دانسیته ظاهری (ب) طی فرآیند سرخ کردن عمیق قطعات سبیزمنی با گذشت زمان، در دماهای ۱۵۰، ۱۷۰ و ۱۹۰°C

معتبرسازی مدل توسعه یافته پیشنهادی

به منظور معتبرسازی مدل توسعه یافته پیشنهادی، قطعات سبیزمنی ابتدا در داخل حمام اولتراسوند تحت فرکانس ۴۰ کیلوهرتز و مدت زمان ۲۰ دقیقه پیش‌تیمار شده و بعد در محلول نمک ۲ درصد به مدت ۳ ساعت قرار گرفته و در نهایت با استفاده از آون مایکروویو با توان ۵ وات بر گرم به مدت ۵ دقیقه خشک شدند. سپس، نمونه‌ها در دماهای ۱۷۰ درجه سانتی‌گراد در چهار زمان، ۱۸۰، ۹۰، ۲۷۰ و ۳۶۰ ثانیه سرخ شدند. نتایج حاصل از برازش مقادیر جذب روغن آزمایشی با مقادیر جذب روغن پیش‌بینی شده توسط مدل پیشنهادی ۲ (جدول ۲)

میزان جذب روغن محصول بیشتر می‌شود (Moreira *et al.*, 1997). بنابراین، هر چه رطوبت خارج شده از محصول زیاد گردد، به همان اندازه روغن زیادی هم جایگزین آن شده و چروکیدگی محصول هم زیاد خواهد شد؛ به عبارت دیگر، چروکیدگی محصول و جذب روغن با هم ارتباط مستقیم دارند. تا به حال و بر اساس اطلاعات در دسترس، هیچ تحقیقی درباره تاثیر متقابل چروکیدگی و محتوای روغن محصولات سرخ شده ارائه نشده است. در این مطالعه، یک مدل درجه دوم نیز برای بررسی اثر متقابل چروکیدگی و جذب روغن پیشنهاد شد:

$$O = as^2 + bs + c \quad (4)$$

که در آن، S ، میزان چروکیدگی، O ، محتوای روغن محصول و a ، b و c ضرایب ثابت مدل می‌باشد (جدول ۴).

علاوه بر این، با گذشت زمان سرخ کردن میزان دانسیته ظاهری محصول کاهش و جذب روغن افزایش یافت (شکل ۳-ب). با گذشت زمان سرخ کردن به دلیل فشار بخار ایجاد شده در داخل خلل و فرج‌های سبیزمنی، حجم آنها افزایش یافته و با افزایش تخلخل محصول و همچنین، کاهش نسبت جرم به حجم محصول، دانسیته ظاهری کم می‌شود (Krokida *et al.*, 2000 & Kawas, 2001a & Moreira, 2001a). مدل پیشنهادی برای بررسی اثر متقابل دانسیته ظاهری و جذب روغن قطعات سبیزمنی نیز داده‌های حاصل از آزمایش را با میزان R^2 بالای ۰/۹۷ و RMSE کمتر از ۰/۰۰۹ متر از نمود:

$$O = ap^2 + bp + c \quad (5)$$

در این معادله P ، دانسیته ظاهری، O ، محتوای روغن محصول و a و b و c ضرایب ثابت مدل می‌باشد (جدول ۴).

همچنین، یک مدل دیگر نیز برای بررسی اثر متقابل جذب روغن و محتوای رطوبت نمونه‌های سبیزمنی پیشنهاد گردید (جدول ۴).

$$O = a(1 - W)^b \quad (6)$$

W : محتوای رطوبت محصول (گرم رطوبت بر گرم ماده خشک بدون روغن)

O : محتوای روغن محصول (گرم روغن بر گرم ماده خشک بدون روغن)

a ، b : ضرایب ثابت مدل

علاوه بر این، مدل‌های جدول ۵، رابطه بین ضرایب مدل‌های جذب روغن-زمان، جذب روغن-چروکیدگی، جذب روغن-دانسیته ظاهری، جذب روغن-محتوای رطوبت و همچنین شرایط فرآیند (زمان اعمال پیش‌تیمار اولتراسوند، غلظت محلول اسمزی نمک)، توان مایکروویو و دمای سرخ کردن را نشان می‌دهند. با استفاده از این مدل‌ها می‌توان بدون انجام آزمایشات پر هزینه در تمامی دماها، زمان‌ها و شرایط مختلف فرآیند، محتوای جذب روغن را به دست آورده و مناسب‌ترین شرایط را برای انجام فرآیند با هدف کاهش جذب

(آبگیری اسمزی با محلول نمک ۲ درصد - اولتراسوند با زمان ۲۰ دقیقه - مایکروویو) وجود دارد ($R^2 = 0.9971$).

در شکل ۴ نشان داده شده است. با توجه به شکل، انطباق خوبی بین مقادیر حاصل از مدل و مقادیر حاصل از آزمایش O2U20M

جدول ۳- پارامترهای آماری حاصل از مدل های ۱-۶ جدول ۲، برای تیمارها و دماهای مختلف

مدل ۱					
۱۹۰			۱۷۰		
RMSE	R^2	RMSE	R^2	RMSE	R^2
.۰۰۰۹	.۹۹۹۸	.۰۰۳۶	.۹۹۷	.۰۰۴۶	.۹۹۳۴
.۰۰۲۱	.۹۹۸۹	.۰۰۹۹	.۹۷۹	.۰۰۳۴	.۹۹۴۹
.۰۰۰۰۲	.۹۹۹۹	.۰۰۳۳	.۹۹۶۹	.۰۰۴۷	.۹۹۲۵
.۰۰۱۳	.۹۹۹۵	.۰۰۴۶	.۹۹۴	.۰۰۱۲	.۹۹۹۴
.۰۰۲۰	.۹۹۹۲	.۰۰۳۴	.۹۹۷۸	.۰۰۲۶	.۹۹۸۴
.۰۰۱۸	.۹۹۸۷	.۰۰۲۷	.۹۹۷۹	.۰۰۵۵	.۹۹۰۵
.۰۰۲۳	.۹۹۷۷	.۰۰۱۹	.۹۹۸۱	.۰۰۱۱	.۹۹۹
.۰۰۰۵۷	.۹۹۱۵	.۰۰۴۶	.۹۹۳۵	.۰۰۱۱	.۹۹۹۴
.۰۰۱۸	.۹۹۷۹	.۰۰۱۶	.۹۹۸۳	.۰۰۰۸	.۹۹۹۲
.۰۰۱۹	.۹۹۷۵	.۰۰۲۴	.۹۹۶۲	.۰۰۳۵	.۹۹۰۰
مدل ۲					
.۰۰۰۹	.۹۹۹۸	.۰۰۳۷	.۹۹۶۸	.۰۰۴۶	.۹۹۳۳
.۰۰۲۲	.۹۹۸۸	.۰۱۰۰	.۹۷۸۷	.۰۰۳۴	.۹۹۵
.۰۰۰۰۵	.۹۹۹۹	.۰۰۳۴	.۹۹۶۷	.۰۰۴۷	.۹۹۲۳
.۰۰۱۴	.۹۹۹۵	.۰۰۴۷	.۹۹۳۸	.۰۰۱۲	.۹۹۹۴
.۰۰۲۰	.۹۹۹۱	.۰۰۳۵	.۹۹۷۴	.۰۰۲۷	.۹۹۸۳
.۰۰۱۹	.۹۹۸۶	.۰۰۲۸	.۹۹۷۸	.۰۰۵۶	.۹۹۰۳
.۰۰۲۳	.۹۹۷۶	.۰۰۱۹	.۹۹۸	.۰۰۱۱	.۹۹۹
.۰۰۰۵۸	.۹۹۱۳	.۰۰۴۶۰	.۹۹۳۳	.۰۰۱۲	.۹۹۹۴
.۰۰۱۸	.۹۹۸	.۰۰۱۶	.۹۹۸۳	.۰۰۰۷	.۹۹۹۳
.۰۰۱۹	.۹۹۷۳	.۰۰۲۴	.۹۹۶	.۰۰۳۶	.۹۸۹۸
مدل ۳					
.۰۰۳۷	.۹۹۶۵	.۰۰۲۲	.۹۹۸۸	.۰۰۲۵	.۹۹۷۹
.۰۰۱۸	.۹۹۹۱	.۰۰۶۹	.۹۸۹۸	.۰۰۵۸	.۹۸۵۹
.۰۰۲۸	.۹۹۷۹	.۰۰۱۶	.۹۹۹۲	.۰۰۲۴	.۹۹۸
.۰۰۲۹	.۹۹۷۸	.۰۰۲۷	.۹۹۷۹	.۰۰۱۷	.۹۹۸۸
.۰۰۳۰	.۹۹۸۲	.۰۰۲۰	.۹۹۹۱	.۰۰۳۰	.۹۹۷۹
.۰۰۲۳	.۹۹۷۹	.۰۰۲۲	.۹۹۸۶	.۰۰۳۴	.۹۹۶۳
.۰۰۲۳	.۹۹۷۷	.۰۰۲۹	.۹۹۵۴	.۰۰۳۵	.۹۹۰۵
.۰۰۳۲	.۹۹۷۳	.۰۰۳۲	.۹۹۶۹	.۰۰۲۶	.۹۹۷
.۰۰۳۷	.۹۹۱۹	.۰۰۳۹	.۹۸۹۸	.۰۰۵۲	.۹۶۸۹
.۰۰۲۱	.۹۹۷	.۰۰۲۹	.۹۹۴۲	.۰۰۴۴	.۹۸۴۵
مدل ۴					
.۰۰۰۹	.۹۹۹۸	.۰۰۳۳	.۹۹۷۴	.۰۰۴۰	.۹۹۵
.۰۰۱۹	.۹۹۹۱	.۰۰۹۰	.۹۸۲۸	.۰۰۴۳	.۹۹۱۹
.۰۰۰۳	.۹۹۹۹	.۰۰۲۸	.۹۹۷۷	.۰۰۴۰	.۹۹۴۴
.۰۰۱۲	.۹۹۹۶	.۰۰۴۲	.۹۹۵	.۰۰۰۷	.۹۹۹۸
.۰۰۱۹	.۹۹۹۳	.۰۰۳۱	.۹۹۸	.۰۰۲۳	.۹۹۸۸

۵ مدل						
.۰/۰۰۱۶	.۰/۹۹۸۹	.۰/۰۰۲۴	.۰/۹۹۸۳	.۰/۰۰۵۱	.۰/۹۹۱۷	M
.۰/۰۰۲۱	.۰/۹۹۸۱	.۰/۰۰۱۶	.۰/۹۹۸۷	.۰/۰۰۰۹	.۰/۹۹۹۴	O1U10M
.۰/۰۰۵۲	.۰/۹۹۳	.۰/۰۰۳۹	.۰/۹۹۵۳	.۰/۰۰۰۹	.۰/۹۹۹۶	O1U30M
.۰/۰۰۲۰	.۰/۹۹۷۶	.۰/۰۰۱۵	.۰/۹۹۸۳	.۰/۰۰۰۹	.۰/۹۹۹۹	O3U10M
.۰/۰۰۱۸	.۰/۹۹۷۷	.۰/۰۰۲۰	.۰/۹۹۷۳	.۰/۰۰۳۲	.۰/۹۹۱۹	O3U30M
۶ مدل						
.۰/۰۰۲۰	.۰/۹۹۹	.۰/۰۰۱۶	.۰/۹۹۹۴	.۰/۰۰۲۲	.۰/۹۹۸۵	Control
.۰/۰۰۰۶	.۰/۹۹۹۹	.۰/۰۰۶۸	.۰/۹۹۰۱	.۰/۰۰۵۷	.۰/۹۸۶۳	O3
.۰/۰۰۲۵	.۰/۹۹۸۴	.۰/۰۰۱۰	.۰/۹۹۹۷	.۰/۰۰۲۲	.۰/۹۹۸۴	O1
.۰/۰۰۰۸	.۰/۹۹۹۸	.۰/۰۰۲۱	.۰/۹۹۸۷	.۰/۰۰۱۵	.۰/۹۹۹۱	U30
.۰/۰۰۲۰	.۰/۹۹۹۱	.۰/۰۰۰۹	.۰/۹۹۹۸	.۰/۰۰۲۷	.۰/۹۹۸۲	U10
.۰/۰۰۰۳	.۰/۹۹۹۹	.۰/۰۰۱۱	.۰/۹۹۹۶	.۰/۰۰۳۲	.۰/۹۹۶۷	M
.۰/۰۰۱۳	.۰/۹۹۹۲	.۰/۰۰۱۳	.۰/۹۹۹۱	.۰/۰۰۱۲	.۰/۹۹۸۸	O1U10M
.۰/۰۰۳۰	.۰/۹۹۷۶	.۰/۰۰۲۱	.۰/۹۹۸۶	.۰/۰۰۱۷	.۰/۹۹۸۶	O1U30M
.۰/۰۰۳۲	.۰/۹۹۴	.۰/۰۰۲۲	.۰/۹۹۶۷	.۰/۰۰۱۹	.۰/۹۹۵۶	O3U10M
.۰/۰۰۰۵	.۰/۹۹۹۸	.۰/۰۰۰۶	.۰/۹۹۹۷	.۰/۰۰۱۹	.۰/۹۹۷۱	O3U30M
۷ مدل						
.۰/۰۰۳۸	.۰/۹۹۶۴	.۰/۰۰۲۲	.۰/۹۹۸۹	.۰/۰۰۱۳	.۰/۹۹۹۴	Control
.۰/۰۰۲۷	.۰/۹۹۸۱	.۰/۰۰۴۷	.۰/۹۹۵۱	.۰/۰۰۶۷	.۰/۹۸۱۱	O3
.۰/۰۰۵۰	.۰/۹۹۳۷	.۰/۰۰۱۸	.۰/۹۹۹۱	.۰/۰۰۰۴	.۰/۹۹۹۹	O1
.۰/۰۰۳۱	.۰/۹۹۷۵	.۰/۰۰۰۲	.۰/۹۹۹۹	.۰/۰۰۳۰	.۰/۹۹۶۴	U30
.۰/۰۰۴۳	.۰/۹۹۶۲	.۰/۰۰۱۹	.۰/۹۹۹۲	.۰/۰۰۴۳	.۰/۹۹۵۷	U10
.۰/۰۰۲۰	.۰/۹۹۸۳	.۰/۰۰۲۴	.۰/۹۹۸۳	.۰/۰۰۱۵	.۰/۹۹۹۳	M
.۰/۰۰۲۳	.۰/۹۹۷۶	.۰/۰۰۲۳	.۰/۹۹۷۲	.۰/۰۰۲۲	.۰/۹۹۶۲	O1U10M
.۰/۰۰۰۸	.۰/۹۹۹۸	.۰/۰۰۱۲	.۰/۹۹۹۶	.۰/۰۰۳۰	.۰/۹۹۵۹	O1U30M
.۰/۰۰۴۷	.۰/۹۸۶۸	.۰/۰۰۳۱	.۰/۹۹۳۵	.۰/۰۰۳۱	.۰/۹۸۸۸	O3U10M
.۰/۰۰۰۹	.۰/۹۹۹۴	.۰/۰۰۰۷	.۰/۹۹۹۶	.۰/۰۰۰۷	.۰/۹۹۹۵	O3U30M

جدول ۴- پارامترهای آماری حاصل از مدل‌های جذب روغن به صورت تابعی از چروکیدگی (مدل ۱)، دانسیته ظاهری (مدل ۲) و محتوای رطوبت (مدل ۳) برای تیمارها و دمای‌های مختلف

۱ مدل						
دما (°C)						
تیمار	۱۵۰	۱۷۰	۱۹۰	۱۹۰	۱۷۰	۱۵۰
تیمار	RMSE	R ²	RMSE	R ²	RMSE	R ²
Control	.۰/۹۸۹۹	.۰/۹۸۹۹	.۰/۰۰۷۰	.۰/۹۹۹۴	.۰/۰۰۵۸	.۰/۹۹۹۰
O3	.۰/۹۹۰۳	.۰/۹۹۰۳	.۰/۰۰۵۸	.۰/۹۷۹۵	.۰/۰۱۲۰	.۰/۹۹۷۷
O1	.۰/۹۸۴۵	.۰/۹۸۴۵	.۰/۰۰۸۳	.۰/۹۹۸۳	.۰/۰۰۳۰	.۰/۹۹۹۲
U30	.۰/۹۹۸۷	.۰/۹۹۸۷	.۰/۰۰۲۲	.۰/۹۹۲۰	.۰/۰۰۶۵	.۰/۹۹۸۶
U10	.۰/۹۹۳۵	.۰/۹۹۳۵	.۰/۰۰۶۵	.۰/۹۹۵۷	.۰/۰۰۵۵	.۰/۹۹۶۳
M	.۰/۹۹۶۱	.۰/۹۹۶۱	.۰/۰۰۴۳	.۰/۹۹۷۰	.۰/۰۰۳۹	.۰/۹۹۹۰
O1U10M	.۰/۸۸۳۳	.۰/۸۸۳۳	.۰/۰۱۵۴	.۰/۹۹۰۳	.۰/۰۰۵۳	.۰/۹۹۳۷
O1U30M	.۰/۹۶۴۷	.۰/۹۶۴۷	.۰/۰۱۱۱	.۰/۹۸۷۶	.۰/۰۰۷۸	.۰/۹۹۷۵
O3U10M	.۰/۹۷۶۶	.۰/۹۷۶۶	.۰/۰۰۵۵	.۰/۹۶۵۴	.۰/۰۰۸۸	.۰/۹۶۷۴
O3U30M	.۰/۹۹۷۶	.۰/۹۹۷۶	.۰/۰۰۲۱	.۰/۹۹۲۳	.۰/۰۰۴۱	.۰/۹۹۷۹
۲ مدل						

۳۵۹ مدل سازی جذب روغن قطعات سیب زمینی پیش تیمار شده با اولتراسوند ...

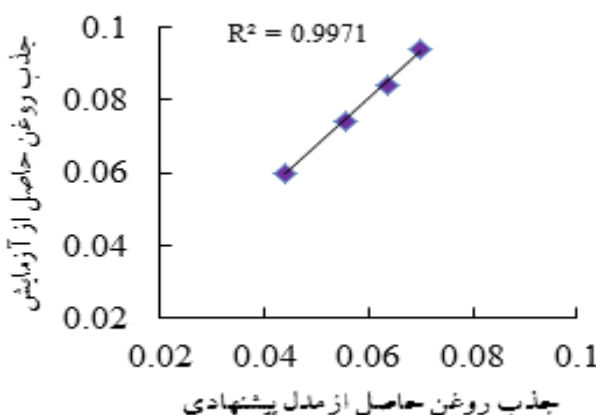
۰/۰۲۰۷	۰/۹۲۹۰	۰/۰۲۳۵	۰/۹۱۴۳	۰/۰۱۹۹	۰/۹۱۹۲	Control
۰/۰۰۵۶	۰/۹۹۴۸	۰/۰۱۹۰	۰/۹۴۸۸	۰/۰۰۹۴	۰/۹۷۵۱	O3
۰/۰۱۰۷	۰/۹۸۱۰	۰/۰۰۹۷	۰/۹۸۲۳	۰/۰۰۶۱	۰/۹۹۱۶	O1
۰/۰۲۹۲	۰/۸۵۵۵	۰/۰۲۰۲	۰/۹۲۳۷	۰/۰۲۹۸	۰/۷۷۴۴	U30
۰/۰۳۴۵	۰/۸۴۲۸	۰/۰۲۹۱	۰/۸۸۲۰	۰/۰۳۴۱	۰/۸۲۱۶	U10
۰/۰۰۵۲	۰/۹۹۲۹	۰/۰۰۵۹	۰/۹۹۳۳	۰/۰۱۱۰	۰/۹۷۴۷	M
۰/۰۰۲۱	۰/۹۹۸۷	۰/۰۰۲۷	۰/۹۹۷۴	۰/۰۰۵۰	۰/۹۸۷۲	O1U10M
۰/۰۰۳۶	۰/۹۹۷۸	۰/۰۰۸۶	۰/۹۸۴۸	۰/۰۰۶۶	۰/۹۸۷۵	O1U30M
۰/۰۰۲۵	۰/۹۹۷۵	۰/۰۰۳۰	۰/۹۹۵۸	۰/۰۰۳۹	۰/۹۸۸۲	O3U10M
۰/۰۰۳۴	۰/۹۹۴۶	۰/۰۰۴۰	۰/۹۹۲۹	۰/۰۰۴۵	۰/۹۸۹۳	O3U30M
مدل						
۰/۰۰۲۱	۰/۹۹۸۸	۰/۰۰۲۰	۰/۹۹۹۰	۰/۰۰۴۱	۰/۹۹۴۸	Control
۰/۰۰۲۱	۰/۹۹۸۹	۰/۰۰۹۱	۰/۹۸۲۳	۰/۰۰۸۷	۰/۹۶۸۰	O3
۰/۰۰۱۴	۰/۹۹۹۵	۰/۰۰۰۸	۰/۹۹۹۸	۰/۰۰۳۸	۰/۹۹۵۱	O1
۰/۰۰۱۳	۰/۹۹۹۵	۰/۰۰۱۷	۰/۹۹۹۱	۰/۰۰۱۶	۰/۹۹۸۹	U30
۰/۰۰۵۳	۰/۹۹۴۳	۰/۰۰۳۲	۰/۹۹۷۸	۰/۰۰۹۶	۰/۹۷۸۶	U10
۰/۰۰۲۰	۰/۹۹۸۵	۰/۰۰۱۵	۰/۹۹۹۳	۰/۰۰۱۳	۰/۹۹۹۴	M
۰/۰۰۲۴	۰/۹۹۷۴	۰/۰۰۱۴	۰/۹۹۸۹	۰/۰۰۲۷	۰/۹۹۴۳	O1U10M
۰/۰۰۲۸	۰/۹۹۷۹	۰/۰۰۲۰	۰/۹۹۸۸	۰/۰۰۱۳	۰/۹۹۹۲	O1U30M
۰/۰۰۲۱	۰/۹۹۷۳	۰/۰۰۶۸	۰/۹۶۹۵	۰/۰۰۲۸	۰/۹۹۰۷	O3U10M
۰/۰۰۱۴	۰/۹۹۸۶	۰/۰۰۲۹	۰/۹۹۴۱	۰/۰۰۰۴	۰/۹۹۹۹	O3U30M

جدول ۵- مدل های نهایی حاصل از انجام تجزیه و تحلیل رگرسیون چند متغیره بر روی ضرایب مدل ها، به صورت تابعی از دمای سرخ کردن و دیگر پارامترهای مربوطه

R^2	$O = \frac{at^b}{1+t}$
۰/۹۳۶۰	$a = -0/۱۶۷۷O - 0/۰۰۱۴U - 0/۰۰۱۷T + 0/۰۰۴۱۳۴O^r + 2/۹۲E - 7U^r - 0/۰۰۲۴M^r + 2/۱۷E - 5T^r$
۰/۹۹۸۷	$b = -0/۱۱۶۵۸۱O - 5/۹E - 5U + 0/۰۱۸۱۶T - 0/۰۳۰۶۹O^r + 2/۸۱E - 5U^r - 0/۰۰۳۷M^r - 6/۷E - 5T^r$
R^2	$O = at^b$
۰/۸۹۷۹	$a = -0/۰۰۲۶T - 9/۶E - 5OU - 1/۲E - 5MT + 2/۴۷E - 5T^r$
۰/۹۶۷۱	$b = -0/۰۰۷۵۲۵T + 0/۰۰۲۱۷OU + 2/۹۴E - 5MT - ۳/۴E - 5T^r$
R^2	$O = \frac{1+t}{at+b}$
۰/۹۵۳۳	$a = -0/۷۳۹۶۵۹O + 0/۰۱۱۵۲۵U + 0/۴۷۵۹۹۵M + 0/۰۳۲۴۴۹T$
۰/۹۳۱۸	$b = 15/۴۱۳۲۸T + 1/۴۲۹۴۸۲OU + 0/۰۸۶۵MT - 0/۰۷۲۴۲T^r$
R^2	$O = \exp(-at^b)$
۰/۹۸۲۵	$a = -0/۰۹۹۰۵T + 0/۰۰۴۹۴۸OU + 0/۰۰۳۹۵MT - 0/۰۰۴۲T^r$
۰/۹۶۶۳	$b = -0/۰۰۲۹۶T + 7/۷۱E - 5OU - ۳/۱E - 5MT + 1/۲۷E - 5T^r$
R^2	$O = \frac{abt}{1+bt}$
۰/۹۶۷۴	$a = -0/۰۰۴۸۲O + 1/۴۲E - 5U - 0/۰۰۶۲۱M + 0/۰۰۹۴۵T$
۰/۸۸۱۶	$b = -0/۰۰۱۳T - ۳/۸E - 5OU - ۴/۹E - 5MT + 1/۳۵E - 5T^r$
R^2	$O = a.(1 - \exp(-bt))$
۰/۹۸۰۲	$a = -0/۰۰۵۸O - 7E - 5U - 0/۰۰۵۲۱M + 0/۰۰۷۹۶T$
۰/۹۵۹۴	$b = -0/۰۰۷۳O - ۳/۸E - 5U - 0/۰۰۱۵M + 7/۸۳E - 5T^r$
R^2	$O = aS^2 + bS + c$

۰/۹۴۵۲	$a = ۱۳۸/۸۸۷۰ + ۹/۰۰۱۴U + ۳/۸۵۵۴T - ۴۳/۶۰۳۱O^۳ - ۰/۳۸۱۰U^۳ - ۱۰/۴۹۷۳M^۳ - ۰/۰۱۲۳T^۳$
۰/۸۰۵۴	$b = -۶/۰۴۵۰O - ۰/۰۴۴U + ۲/۲۲۹۹O^۳ + ۰/۰۱۳۱U^۳ + ۰/۰۲۳۸M^۳ + ۰/۰۰۰۶T^۳$
۰/۹۴۸۱	$c = ۱۱۷/۲۲۱۹O + ۲۱/۳۱۲۱U + ۷/۰۶۲۲T - ۲۸/۲۲۷۶O^۳ - ۰/۰۷۰۹۵U^۳ - ۲۱/۱۷۵۹M^۳ - ۰/۰۲۰۹T^۳$
R²	$O = a\rho^2 + b\rho + c$
۰/۹۵۰۱	$a = ۱/۵۴۹۴O - ۰/۰۷۰۳U - ۰/۰۵۷۲T - ۰/۳۱۸۲O^۳ + ۰/۰۰۲۰U^۳ + ۰/۰۹۹M^۳ + ۰/۰۰۰۲T^۳$
۰/۹۴۷۸	$b = -۲/۵۹۳۰O + ۰/۱۶۹۶U + ۰/۱۰۱۲T + ۰/۵۲۹۱O^۳ - ۰/۰۰۴۷U^۳ - ۰/۱۹۹۷M^۳ - ۰/۰۰۰۳T^۳$
۰/۹۳۹۱	$c = ۱/۰۹۷O - ۰/۰۹۳۱U - ۰/۰۴۳۶T - ۰/۲۲۵۴O^۳ + ۰/۰۰۲۵U^۳ + ۰/۰۹۳۴M^۳ + ۰/۰۰۰۱T^۳$
R²	$O = a(1 - W^b)$
۰/۹۷۷۳	$a = -۰/۰۰۴۶O + ۰/۰۰۱U - ۰/۰۰۶۱M + ۰/۰۰۰۸T$
۰/۱۶۴۹	$b = -۰/۰۷۰۲T - ۰/۰۱۵۶U + ۰/۱۷۵۲M + ۰/۰۲۵۷T^۳$

به ترتیب نشان‌دهنده غلظت محلول اسمزی نمک، زمان پیش‌تیمار اولتراسوند، توان پیش‌تیمار مایکروویو و دمای سرخ‌کردن می‌باشد.



شکل ۴- برآzoش داده‌های جذب روغن حاصل از آزمایش با داده‌های حاصل از مدل پیشنهادی (مدل ۲، جدول ۲)

از زمان‌های مختلف تعیین کرد و کیفیت محصول سرخ‌شده را از نقطه نظر کاهش میزان جذب روغن افزایش داد. در نهایت، مدل‌هایی با استفاده از تجزیه و تحلیل رگرسیون چند متغیره برای تعیین ضرایب مدل‌های جذب روغن به دست آمدند که می‌توانند برای محاسبه میزان جذب روغن در شرایط مختلف فرآیند سرخ‌کردن به کار روند.

نتیجه گیری

تلقيق پیش‌تیمارهای اولتراسوند، مایکروویو و آبگیری اسمزی با محلول نمک، میزان جذب روغن را در قطعات سیب‌زمینی سرخ‌شده به صورت معنی‌داری کاهش داد. در این مطالعه مدل‌های معتبرسازی شده مختلفی با R^2 بالا و RMSE پایین به دست آمدند که به راحتی می‌توان با استفاده از این مدل‌ها میزان جذب روغن را به صورت تابعی

منابع

- AOAC. 1990. Official Methods of Analysis. Association of Official Analytical Chemists., Washington, DC.
- AOAC. 1995. Official Methods of Analysis. Association of Official Analytical Chemists., Washington, DC.
- Barutcu, I., Sahin, S., and Sumnu, G., 2009. Acrylamide formation in different batter formulations during microwave frying. LWT - Food Science and Technology. 42, 17-22.
- Blumenthal, M.M., 1991. A new look at the chemistry and physics of deep fat frying. Food Technology. 45, 68-71.
- Bouchon, P., Aguilera, J., and Pyle, D., 2003. Structure Oil-Absorption Relationships during Deep-Fat Frying. Journal of Food Science and Technology. 68(9), 2711-2716.
- Bouchon, P., and Aguilera, J.M., 2001. Microstructural analysis of frying of potatoes. Journal of Food Science and Technology. 36, 669-676.
- Eren, I., and Kaymak-Ertekin, F., 2007. Optimization of osmotic dehydration of potato using response surface methodology. Journal of Food Engineering. 79, 344-352.

- Fernandes, A.N., and Rodrigues, S., 2007. Ultrasound as pre-treatment for drying of fruits: Dehydration of banana. *Journal of Food Engineering*. 82, 261-267.
- Franco, P., Pedro, M., Natalie, S., and Romina, P., 2007. Physical properties of pre-treated potato chips. *Journal of Food Engineering*. 79, 1474-1482.
- Freitas, D.D.C., Berbari, S.A.G., Prati, P., Fakhouri, F.M., Queiroz, F.P.C., and Vicente, E., 2009. Reducing of fat uptake in cassava product during deep-fat frying. *Journal of Food Engineering*. 94, 390-394.
- Gamble, M.H., Rice, P., and Selman, J.D., 1987a. Relationship between oil uptake and moisture loss during frying of potato slices from c.v. RecordU.K. Tubers. *International Journal of Food Science of Technology*. 22, 233-241.
- Ikoko, J., and Kuri, V., 2007. Osmotic pretreatment effect on fat intake reduction on eating quality of deep fried plantain. *Journal of Food Chemistry*. 102, 523-531.
- Kawas, M.L., and Moreira, R.G., 2001a. Characterisation of product quality attributes of tortilla chips during the frying process. *Journal of Food Engineering*. 47, 97-107.
- Krokida, M.K., Oreopoulou, V., and Maroulis, Z. B., 2000. Water loss and oil uptake as a function of frying time. *Journal of Food Engineering*. 44(1), 39-46.
- Krokida, M.K., Oreopoulou, V., and Maroulis, Z.B., 2000. Effect of frying conditions on shrinkage and porosity of fried potatoes. *Journal of Food Engineering*. 43, 147-154.
- Krokida, M.K., Oreopoulou, V., Maroulis, Z.B., and Marinos-Kouris, D., 2001. Effect of osmotic dehydration pretreatment on quality of french fries. *Journal of Food Engineering*. 49, 339-345.
- Marisol, D., Franco, P., Pedro, M., and Elizabeth, T., 2007. Oil partition in pre-treated potato slices during frying and cooling. *Journal of Food Engineering*. 81, 257-265.
- Moreira, R.G., Sun, X., and Chen, Y., 1997. Factors affecting oil uptake in tortilla chips in deep-fat frying. *Journal of Food Engineering*. 31, 485-498.
- Moyano, P.C., and Pedreschi, F., 2006. Kinetics of oil uptake during frying of potato slices: Effect of pre-treatments. *LWT - Food Science and Technology*. 39(3), 285-291.
- Moyano, P.C., Rioseco, V.K., and Gonzalez, P. A., 2002. Kinetics of crust color changes during deep fat frying of impregnated french fries. *Journal of Food Engineering*. 54, 249-255.
- Ngadi, M.O., Wang, Y., Adedeji, A.A., and Raghavan, G.S.V., 2009. Effect of microwave pretreatment on mass transfer during deep-fat frying of chicken nugget. *LWT - Food Science and Technology*. 42, 438-440.
- Ortuno, C., Munuera, I.P., Puig, A., Riera, E., and Perez, J.V.G., 2010. Influence of power ultrasound application on mass transport and microstructure of orange peel during hot air drying. *Journal of Physics Procedia*. 3, 153-159.
- Oztop, M.H., Shin, S., and Sumnu, G., 2007. Optimization of microwave frying of potato slices by using taguchi technique. *Journal of Food Engineering*. 79, 83-91.
- Pedreschi, F., and Aguilera, J.M., 2002. Some changes in potato chips during frying observed by confocal laser scanning microscopy. *Journal of Food Science and Technology*. 7, 1-5.
- Pedreschi, F., Cocio, C., Moyano, P., and Troncoso, E., 2008. Oil in potato slices during frying. *Journal of Food Engineering*. 87, 200-212.
- Steel, R.G.D., Torrie, J.H., and Dickey, D.A., 1997. Principles and procedures of statistics: a biometrical approach. New York: Mc Graw-Hill.
- Sukumar, D.A., Rastogi, B.N.K., Gopala Krishna, A.G., and Lokesh, B.R., 2009. Oil partitioning between surface and structure of deep-fat fried potato slices: A kinetic study. *LWT - Food Science and Technology*. 42, 1054-1058.
- Tuta, S., Koray Palazoglu, T., and Gokmen, V., 2010. Effect of microwave pre-thawing of frozen potato strips on akrylamide level and quality of french fries. *Journal of Food Engineering*. 97, 261-266.
- Vitrac, O., Dufour, D., Trystram, G., and Raoult-Wack, A.L., 2002. Characterization of heat and mass transfer during deep-fat frying and its effect on cassava chip quality. *Journal of Food Engineering*. 53(2), 161-176.
- Ziaifar, A.M., Courtois, F., and Trystram, G., 2010. Porosity development and its effect on oil uptake during frying process. *Journal of Food Process Engineering*. 33(2), 191-212.

Modeling oil uptake of potato strips pretreated with ultrasound, microwave and osmotic dehydration during deep-fat frying process

M. Barmour¹ - J. Dehghannya^{2*} - B. Ghanbarzadeh³

Received: 14-07-2013

Accepted: 16-04-2014

Abstract

The objective of this study was to evaluate the effect of process conditions and different pretreatments including ultrasound, microwave and osmotic dehydration on mass transfer and oil uptake during deep fat frying of potato slices. Ultrasound pretreatment was performed at frequency of 40 KHz for 10 and 30 minutes, microwave pretreatment was conducted at 5 W/g power and osmotic dehydration pretreatment was done in NaCl solutions with concentrations of 1 and 3 percent. Potato slices were then fried at 150, 170 and 190°C for 90, 180, 270 and 360 seconds. The results showed that ultrasound pretreatment for 10 minutes increases oil uptake of samples as compared with control sample, but when samples were exposed to ultrasound for 30 minutes, oil uptake was decreased. In addition, microwave pretreatment reduced oil uptake of potato slices insignificantly. Furthermore, osmotic dehydration pretreatment reduced oil uptake. In order to model oil uptake, experimental data were fitted with 6 models. The aforementioned models had the highest R² and a minimum value of RMSE.

Keywords: Ultrasound, Microwave, Osmotic dehydration, Frying, Oil uptake, Effective moisture diffusion coefficient.

1, 2 and 3. Former M. Sc. Student, Assistant Professor and Associate Professor, Department of Food Science and Technology, Faculty of Agriculture, University of Tabriz, Iran, Respectively.
(*- Corresponding Author Email : J_dehghannya@tabrizu.ac.ir)